

## راه اندازی روش Real-time PCR برای تشخیص و تعیین کمی ویروس سرخک با استفاده از ژن F

طاهره زارعی<sup>\*</sup>، دکتر خسرو آقایی پور<sup>۲</sup>، دکتر فرشید کفیل زاده<sup>۳</sup>، دکتر عبدالحمید شوشتري<sup>۴</sup>

<sup>۱</sup> کارشناس ارشد، دانشگاه آزاد اسلامی، واحد جهرم، گروه میکروبیولوژی، استادیار، موسسه تحقیقات واکسن و سرم سازی رازی، بخش بیوتکنولوژی

<sup>۳</sup> دانشیار، دانشگاه آزاد اسلامی، واحد جهرم، گروه میکروبیولوژی، استادیار، موسسه تحقیقات واکسن و سرم سازی رازی، بخش تحقیق و تشخیص بیماری های طیور

### چکیده

سابقه و هدف: با وجود کنترل بیماری سرخک در جهان، اما گزارش هایی از ابتلا به این ویروس در جمعیت های واکسینه شده وجود دارد. بنابراین تشخیص دقیق و به موقع این ویروس ضروری است. روش های جدید مولکولی در تشخیص ویروس ارائه شده است که توان تعیین مقدار این ویروس را ندارند. هدف از این پژوهش، راه اندازی روش Real-time PCR با استفاده از ژن F ویروس سرخک بود. مواد و روش ها: این مطالعه با طراحی دو پرایمر و یک پروب راه اندازی واژن F کلون شده در داخل پلاسمید (+) pET-22b استفاده گردید. رقت های متوالی در مبنای ۱۰ از پلاسمید استاندارد حاوی ژن آماده شد و منحنی استاندارد رسم گردید. جهت انجام پروژه از کیت Taq Man ساخت شرکت ABI استفاده گردید.

یافته ها: حداقل ۳۰ ذره ویروسی در هر واکنش مشخص گردید و در محدوده رقت های  $10^{-4}$  تا  $10^{-9}$  معادل ( $3 \times 10^6 - 3 \times 10^9$ ) نسخه بهترین حالت خطی برای منحنی استاندارد دیده شد.

نتیجه گیری: نتایج نشان داد که تکنیک Real-time PCR می تواند به عنوان روشی بسیار اختصاصی و سریع برای تشخیص و تعیین تعداد ویروس سرخک از نمونه های حاوی این ویروس به کار رود.

واژگان کلیدی: ویروس سرخک، ژن F، Real-time PCR

پذیرش برای چاپ: آذر ۱۳۸۸

دریافت مقاله: مهر ۱۳۸۸

نمونه های بالینی و یا تعیین مقدار کمی در طی فرایند تولید واکسن برای بهینه کردن استانداردهای بهداشتی یک جامعه ضروری می باشد (۲). سازمان بهداشت جهانی از همه کشورها و مراکز بهداشتی جهان خواسته است تا توجه به این بیماری عفونی و پایش سطح ایمنی جامعه را در الوبیت های موسسات بهداشتی قرار دهند و در مطالعات بیولوژیکی خود علاوه بر تست های سرولوژیکی از روش های مولکولی نیز استفاده کنند (۳). از آن جایی که روش های موجود مولکولی توان تعیین مقدار ویروس را ندارند لذا به تارگی

### مقدمه

ویروس سرخک از خانواده پارامیکسوویریده و جنس موربیلی ویروس ها است. این ویروس عامل بیماری مسری و حاد سرخک در انسان می باشد (۱). این بیماری عفونی محدود به دوران کودکی نیست و در بسیاری از افراد سالخورده نیز باعث بروز بیماری می گردد، از این رو تشخیص دقیق و به هنگام این ویروس خواه در

\* آدرس برای مکاتبه: جهرم، دانشگاه آزاد اسلامی، واحد جهرم، گروه میکروبیولوژی  
تلفن: ۰۹۳۸۹۹۰۹۷۰۰

پست الکترونیک: tahereh zarei71@yahoo.com

جدول ۱: پرایمرها و پرورب استفاده شده در این مطالعه.

Oligonucleotide Name	Sequenc(5' to 3')
F463_485F	GCGAGCCTGGAAACTAATCA
F539_517R	CCCTGAACAGCCAATATCATCTC
F490_515P	ATTGAGGCAATGAGACAAGCAGGGCA

امکان پذیر است که در مقایسه با روش‌های سرولوژیکی رایج بسیار سریع، دقیق‌تر و حساس‌تر می‌باشد.

### مواد و روش‌ها

ویروس سرخک سویه واکسینال AIK-C از بخش سرخک موسسه رازی تهیه شد. برای طراحی یک جفت پرایمر یک قطعه از ژن F به اندازه ۷۶ bp استفاده شد که مناسب Real-time PCR می‌باشد. این پرایمرها و یک پرورب به شرکت BIONEER سفارش داده شد.

پرایمرهای فرادست و فروdest (شماره ۱ و ۲) و پرورب (شماره ۳) توسط برنامه Oligo و از توالی موجود در بانک ژن طراحی و استفاده شد. پرورب به کاررفته شامل یک الیگونوکلئوتید است که انتهای آن به وسیله رنگ فلورسنت گاراشگر FAM-6 و انتهای آن به وسیله رنگ مهارگر BHQ1 (از انواع رنگ‌های سیاه) نشانه‌گذاری شده است.

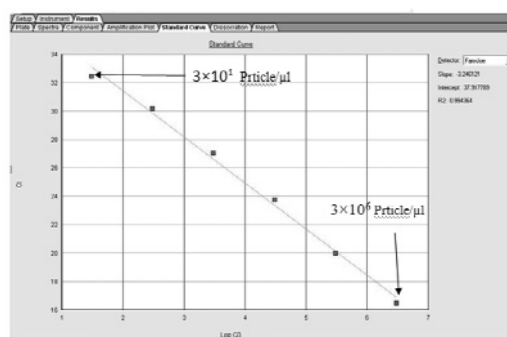
در ابتدا پلاسمید نوترکیب حاوی ژن F (یعنی pET-22b(+)-F) در قبلاً درون پلاسمید (Novagen، آلمان) (ژن F) که قبلاً درون pET-22b(+) (آلمان) کلون شده بود) با استفاده از روش شوک حرارتی ترانسفورم گردید تا تعداد پلاسمید به حد مورد نیاز برسد، سپس استخراج پلاسمید انجام پذیرفت. برای تخلیص پلاسمید از کیت ساخت شرکت Roche (آلمن) به نام High Pure Plasmid Isolation Kit استفاده شد. پس از استخراج پلاسمید، به منظور بررسی صحت پلاسمیدهای استخراج شده از الکتروفورز ژل آگارز ۱/۵ درصد و هضم آنزیمی پلاسمید استفاده شد. پس از تخلیص پلاسمید غلظت پلاسمید با استفاده از نانورآب به دست آمد ( $237/8\text{ ng}/\mu\text{l}$ ) و براساس فرمول شمارش نسخه، تعداد نسخه ژن هدف دقیقاً محاسبه شد. سپس از پلاسمید حاوی ژن رقت‌های متوالی ده تایی ( $10^{-9}$  تا  $10^{-4}$ ) تهیه و با پرایمرهای اختصاصی منحنی

روش جدیدی به نام Real-time PCR معرفی شده است که امکان کمی کردن PCR مرسوم را به صورت بسیار اختصاصی، حساس و با قابلیت تکرار بالا فراهم نموده است و مزایایی چون نشان دادن وضعیت واقعی حین آزمایش، امکان تعیین مقدار ویروس را نیز دارد. این روش جایگزین مناسبی برای سایر شکل‌های RT-PCR کمی مرسوم است که در آن‌ها تولید محصول را فقط در پایان کار می‌توان تشخیص داد (۴). در اکثر مطالعات گذشته در تشخیص سرخک از ژن‌های هماگلولوتینین (H)، نوکلئوکپسید (N) و فیروزن (F) برای ردیابی اسید نوکلئیک ویروس سرخک به روش Real-time PCR استفاده شده است (۲ و ۵-۷). در مطالعه کیمبری و همکاران در سال ۲۰۰۶ از ژن‌های N، H و F در ردیابی ویروس سرخک با تکنیک Thomas Real-time PCR استفاده شد (۶). سال ۲۰۰۷ از Real-time PCR برای ارزیابی مقداری ژن هماگلولوتینین (H) ویروس سرخک استفاده کردند (۸). از آن جایی که تعیین تعداد ذرات ویروس سرخک به وسیله شمارش یا تیتر کردن در کشت سلولی صورت می‌گیرد، روشنی وقت‌گیر و پر زحمت می‌باشد. هدف از این پژوهش راه اندازی روش Real-time PCR با استفاده از ژن F ویروس سرخک می‌باشد. پروتئین F در خانواده پارامیکسوویروس بسیار محافظت شده است، زیرا ژن F از پایدارترین ژن‌های ویروس سرخک محسوب می‌شود ولذا در این تحقیق مورد هدف قرار گرفته است. با راه اندازی این روش می‌توان میزان ویروس سرخک را در فرآورده‌های بیولوژیکی در حداقل زمان ممکن، با حساسیت بسیار بالا بررسی نمود. از این روش هم چنین می‌توان در کنار روش‌های متداول به منظور تخمین سریع مقدار ویروس در محیط کشت سلولی برای کنترل کیفی واکسن سرخک به طور گستره‌ای استفاده نمود. با این روش مولکولی تشخیص سریع بیماران مشکوک به ابتلا به بیماری سرخک

PCR Master Mix صورت زیر تهیه شد: محلولی از ۶ ml از (2x) Passive reference (ROX) (شامل: TaqMan universal AmpliTaq Optimized buffer components, dNTPs Gold®DNA Polymerase) و ۵ ml از محلول پرایمرهای روبه جلو (F) و برگردان (R) و ۰.۵ ml از پروب TaqMan و ۵ ml از (آمریکا) و تحت شرایط دمای ۹۵ درجه سانتی گراد به مدت ۱۰ دقیقه AmpliTaq Gold®DNA Polymerase به منظور فعال سازی آنزیم ۹۵ درجه سانتی گراد به مدت ۱۵ ثانیه و در ادامه ۴۰ چرخه شامل ۹۵ درجه سانتی گراد به مدت ۱۰ دقیقه (denaturation) و ۶۰ درجه سانتی گراد به مدت ۱۰ دقیقه (annealing and extension) آزمایش در سطح Intra assay (در چاهک‌های مختلف و هم زمان) و نیز در سطح Inter assay (در روزهای مختلف) بررسی گردید و نتایج مقدار Inter and Intra assay variability بر حسب value  $C_T$  بیان شد. ضریب تغییرات CV یک واکنش از تقسیم انحراف استاندارد بر میانگین ارزش  $C_T$  برای نمونه در هر تست جداگانه محاسبه و برای ثبت این اطلاعات از نرم افزار Matlab استفاده شد.

## یافته‌ها

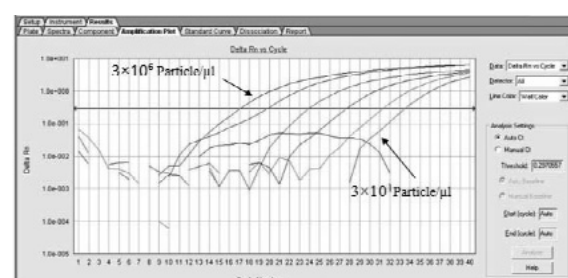
برای ارزیابی خطی بودن روش Real-time PCR رقت‌های ده مرتبه‌ای از پلasmid حاوی ژن یعنی رقت‌های  $10^{-9}$  تا  $10^{-1}$  معادل  $(3 \times 10^1 - 3 \times 10^6)$  ذره در یک میکرولیتر برای تکنیک TaqMan Probe



شکل ۲: نمودار منحنی استاندارد رقت‌های متوالی از  $10^{-9}$  تا  $10^{-1}$  معادل  $(3 \times 10^1 - 3 \times 10^6)$  ذره در یک میکرولیتر از استاندارد با استفاده از پرایمرهای F539\_517R و F463\_485F

استاندارد رسم شد. به این ترتیب که پس از اتمام واکنش با استفاده از رقت‌های مختلف از استانداردهای تهیه شده تعداد نسخه‌های رقت‌های استفاده شده به دستگاه داده شد و منحنی استاندارد رسم گردید. با در نظر گرفتن تمام معیارهای کیفی لازم (ضریب رگرسیون یا Slope، R<sup>2</sup> و شیب خط یا y-intercept) برای رسم یک منحنی استاندارد دقیق، کیفیت منحنی استاندارد تهیه شده به عنوان مرجع مقدار سنجی برای تکنیک TaqMan Probe به کار گرفته شد. این معیارها براساس مقالات بهینه شده است (۹). منحنی استاندارد از دو عامل  $C_T$  (Cycle threshold) نمونه در هر دور در مقابل لگاریتم رقت‌های متوالی از اسید نوکلئیک هدف (پلasmid+ژن هدف) به دست می‌آید. اتصال نقطه تقاطع این دو معیار به هم شیب خط یا Slope است که نشان‌دهنده کارایی واکنش PCR انجام شده می‌باشد. محدوده معمولی برای این شیب ( $-3/3 \pm 10\%$ ) است. شاخص مهم دیگر یعنی ضریب رگرسیون (R<sup>2</sup>) یا ضریب ارتباط در یک منحنی استاندارد ایده‌آل باید  $0.98 \pm 1$  باشد، ضریب ارتباط R<sup>2</sup> نشان‌دهنده چگونگی انجام واکنش PCR در یک چاهک و گویای میزان دقت لازم برای تهیه رقت‌های متوالی ده تابی و تزریق مواد درون چاهک‌ها می‌باشد. شاخص مهم دیگر که نشان‌دهنده حساسیت روش و دقت مقدار سنجی می‌باشد y-intercept است که در یک منحنی استاندارد ایده‌آل ما بین سیکل‌های ۳۳-۳۷ می‌باشد (۹).

واکنش Real-time PCR با استفاده از کیت TaqMan Probe شرکت Applied Biosystems (ABI) انجام پذیرفت. ترکیبات مورد نیاز برای انجام واکنش Real-time PCR در حجم ۱۲ ml



شکل ۱: نمودار منحنی تکثیر با رقت‌های متوالی از  $10^{-9}$  تا  $10^{-1}$  معادل  $(3 \times 10^1 - 3 \times 10^6)$  ذره در یک میکرولیتر از استاندارد با استفاده از پرایمرهای F539\_517R و F463\_485F

استفاده می‌شود که به خوبی ویروس سرخک را در نمونه‌های مختلف کلینیکی در کمتر از هفت روز بعد از شروع علائم راش پوستی تشخیص می‌دهد، اما انجام این آزمایش ۲ روز کاری زمان نیاز دارد این در حالی است که Real-time PCR در یک روز کاری ویروس سرخک را تشخیص دهد و قادر است از نمونه‌هایی که در ۷ روز اول بیماری جمع آوری شده نیز ویروس را شناسایی کند (۸). Morita و همکارانش در سال ۲۰۰۷ روش ژنتیکی Nested RT-PCR را برای تشخیص ویروس سرخک به کار برند و اظهار کردند که در حالی که این روش ممکن است خیلی حساس باشد ولی بیشتر از ۸ ساعت زمان نیاز دارد (۱۶) و همکارانش روش Ozoemena Nested RT-PCR را نسبت به روش RT-PCR مرسوم در تشخیص ویروس سرخک ۱۰ تا ۱۰۰ برابر حساس تر معرفی نمودند. ولی اظهار کردند که تکنیک Nested PCR به دلیل مشکل آلودگی متقطع نمونه‌ها با الگوهای DNA که از قبل در آزمایشگاه وجود داشته اند و یا با دیگر نمونه‌های کنترل مثبت مورد انتقاد قرار گرفته است (۵). بنابراین به منظور بهبود این مشکلات، روش Real-time PCR به منظور ردیابی ژنوم ویروس‌های مختلف به کار گرفته شده است. از مزیت‌های مهم این روش قابلیت مقدار سنجی اسیدونوکلئیک ویروس در غلظت‌های پائین و هم چنین کاوش نتایج مثبت کاذب به دلیل عدم نیاز به فرایندهای بررسی بعد از PCR می‌باشد (۸). به کمک روش Real-time PCR و تعیین مقدار ویروس واکسن می‌توان مرحله دقیق عفونت‌زاوی و بیماری‌زاوی ویروس سرخک را مشخص نمود و بنابراین به کمک این روش از ایجاد بیماری سرخک و علائم مرتبط به آن جلوگیری کرد (۶-۸، ۱۷ و ۱۸). طی مطالعاتی که توسط Brenda و همکاران در سال ۲۰۰۷ و Akiyama و همکاران در سال ۲۰۰۹ برای آشکارسازی RNA ویروس سرخک در دامنه وسیعی از نمونه‌های کلینیکی توسط روش حساس Real-time PCR صورت گرفت، به اختصاصیت بالای این روش اشاره شده است. به طوری که هیچ نوع از ویروس‌های تنفسی، انتروویروس، ویروس‌های سین سی‌شیال تنفسی و ویروس‌های آنفلوونزا (ساب تایپ A و B) در ارزیابی با تکنیک Real-time PCR آشکار نشدنند (۸ و ۱۰). Sebastian و همکاران در تحقیقی بیان کردند Real-time PCR برای بی‌گیری

آزمایش شد و تنها در شش رقت متوالی  $10^{-4}$  تا  $10^{-9}$  معادل  $(3 \times 10^6 - 3 \times 10^1)$  ذره در یک میکرولیتر بهترین حالت خطی برای منحنی استاندارد مشاهده شد. در این محدوده کلیه معیارهای Real-time PCR Intercept و R2 در دامنه تایید شده Slope قرار گرفتند (شکل ۱ و ۲). برای پارامتر y-intercept که نشان دهنده حساسیت روش و دقت مقدار سنجی می‌باشد، مقدار ۳۵/۰۷ بدست آمد، ضریب R2 ۰/۹۹ و Slope ۳/۲۴ با مقدار ۰/۹۹ به دست آمد که نشان دهنده کارایی بالای واکنش انجام شده می‌باشد. میزان Inter assay ۰/۰۳٪ و میزان Intra assay ۰/۱٪ محاسبه گردید. بنابراین در محدوده رقت‌های  $10^{-4}$  تا  $10^{-9}$  دامنه تغییرات در یک واکنش و در بین چندین واکنش بسیار پایین می‌باشد.

## بحث

بیماری سرخک یکی از مسری ترین بیماری‌های عفونی دوران کودکی است. امروزه واکسیناسیون نوزادان و کودکان تا حد زیادی از موارد ابتلا به نوع وحشی این بیماری کاسته است اما هم چنان در کودکانی که از ضعف سیستم ایمنی رنج می‌برند ممکن است واکسیناسیون با شکست مواجه شود و هم چنین مواردی از ابتلا به بیماری سرخک در کودکان واکسینه شده نیز مشاهده شده است. بنابراین تشخیص کیفی سریع این ویروس در نمونه‌های بالینی یا تعیین مقدار آن در طی فرایند تولید واکسن می‌تواند در بهینه کردن استانداردهای بهداشتی یک جامعه مفید باشد (۱۱-۱۳). به طور متداول تست استاندارد برای تشخیص بیماری سرخک تست‌های سرولوزیکی می‌باشد (۲). اگر چه روش آنژیم ایمنواسی آنتی‌بادی IgM در فاز حاد سرمی به عنوان شایع ترین روش آزمایشگاهی برای تایید عفونت ویروس سرخک از حساسیت بالایی حدود ۸۹-۸۳٪ و اختصاصیت حدود ۹۵-۱۰۰٪ برخوردار است اما به دلیل نتایج منفی کاذب در نمونه‌های سرمی جمع آوری شده زودتر از شروع راش پوستی و نتایج مثبت کاذب ناشی از حضور آنتی‌بادی IgM دیگر عوامل بیماری‌زا مانند روبلان و پاروویروس B19 و فاکتور روماتوئید (RF)، راه اندازی روشی حساس مانند Real-time PCR برای شناسایی سریع و اختصاصی RNA ویروس ضروری به نظر می‌رسد (۶). به تارگی در بسیاری از مراکز تحقیقاتی روش Nested PCR

واکسینال AIK-C برای تشخیص و تعیین مقدار ویروس با روش TaqMan probe استفاده شد. سویه AIK-C واکسن تحفیف حدت یافته‌ای از ژنوتیپ A ویروس است که از سویه ویرولان ادمونستون آمریکا با همکاری موسسه رازی ایران و کیتازاتو ژاپن F تهیه شده است. کیمبلی و همکاران، پرایمرها و پروب ژن F براساس سویه واکسن (ژنوتیپ A) طراحی شده و قابلیت تشخیص RNA ویروس و شناسایی ژنوتیپ فعال در نمونه را دارد (۶). بر همین اساس در این مطالعه نیز با طراحی بک جفت پرایمر براساس سویه AIK-C و استفاده از پروب طراحی شده در مقاله Kimberly Real-time PCR، ژن F ویروس سرخک بوده است، برای رسم منحنی استاندارد از ژن F کلون شده داخل پلاسمید (+) pET-22b(+) استفاده گردید، پس از انجام مراحل متعدد، این روش قابلیت تعیین  $3 \times 10^6$  ذره در یک میکرولیتر از استاندارد را نشان داد، همچنین در مطالعه کیمبلی در سال ۲۰۰۶ میزان Intra assay مربوط به ژن F حدود ۲/۳٪ و میزان Inter assay برای همه رقت‌ها حدود ۵ درصد برای ژن F بوده است (۶). بنابراین در این مطالعه روش TaqMan probe راه اندازی شده، با استفاده از DNA plasmid Standard Curve راه اندازی شده، با توان تشخیص حداقل ۳۰ نسخه ژن در هر میکرولیتر با توجه به مقالات گزارش شده معتبر می‌باشد (۲ و ۶).

## نتیجه گیری

ما در این پژوهش موفق به راه اندازی روش Real-time PCR و قابلیت مقدار سنجی دقیق آن تا حدود ۳۰ ذره در هر واکنش شدیم. این روش می‌تواند در کنار روش‌های متداول امروزی مانند CCID50 و Plaque assay که روش‌های به نسبت وقت‌گیری هستند برای تشخیص بیماری سرخک و آسان تر نمودن روند تحقیقات در تعیین ویروس به کار گرفته شود. با راه اندازی روش سریع و آسان Real-time PCR می‌توان عیار ویروس را تعیین نمود. این روش به ویژه در شیوع‌ها و اپیدمی‌ها که نیاز به تشخیص سریع می‌باشد بسیار موثر بوده و کارایی زیادی دارد.

جمعیت‌های آلوده با بیماری‌های ویروسی سرخک و بررسی جداسازی ویروس سرخک از نمونه‌های کلینیکی بسیار حساس و مفید می‌باشد (۱۷). در ایران نیز Real-time PCR در سال‌های گذشته در موسسه سرم سازی رازی کرج برای ژن N و H راه اندازی شده است. این تحقیق با استفاده از تکنیک TaqMan و براساس ژن فیوژن F با امکان تشخیص و تعیین مقدار ویروس سرخک سویه AIK-C راه اندازی شده است. دلیل انتخاب ژن F به عنوان ژن هدف، بازنگری مقالات و بررسی‌هایی بود که بیان می‌کند که ژن F در خانواده پارامیکسوویروس بسیار محافظت شده است. ژن F از پایدارترین ژن‌های ویروس سرخک محسوب می‌شود. گلیکوپروتئین F دارای تعدادی توالی‌های ایمونوژن است و بنابراین می‌توان گفت که این پروتئین نقش مهمی را در ایمن‌سازی دارد (۱۶). در مطالعه کیمبلی از ژن F در ریابی ویروس سرخک با استفاده از روش مذکور در حدود ۸۲٪ تعداد ژنوم ویروس سرخک با استفاده از RT-PCR تنها ۴۱٪ از این موارد تایید شده مثبت گزارش شده است (۶). در مطالعه دیگری که Uhmann و Bradstreet با استفاده از تکنیک Real-time PCR اختصاصی برای ژن‌های F و H انجام دادند توانستند کمتر یا برابر با یک نسخه از RNA ویروس سرخک را آشکار کنند (۲۰ و ۲۱)، به تازگی چندین آزمایشگاه از تکنولوژی TaqMan به منظور آشکارسازی توالی‌های ژن‌های F، N و H ویروس سرخک استفاده شده است. این روش نسبت به PCR معمولی و سایرگرین حساس تر بوده و برای تشخیص و تعیین مقدار ویروس روشی آسان، سریع، حساس و اختصاصی می‌باشد (۲ و ۱۷). Uhmann و همکارانش روش TaqMan RT-PCR را برای آشکارساختن توالی‌های ژنوم ویروس سرخک در روده بیماران با انتروکولیت کاذب به کار برندند (۲۱). Hernandez و همکارانش در مطالعات خود عنوان کردند که روش TaqMan RT-PCR ده برابر حساس تر از روش PCR مرسوم و هم چنین اختصاصیت این روش نسبت به PCR مرسوم باز هم بیشتر می‌باشد (۲۲-۲۴).

در این مطالعه قطعه ۷۶ bp از ژن F ویروس سرخک سویه

## تشکر و قدردانی

نویسنده‌گان این مقاله مراتب سپاس و قدردانی خود را از بخش  
بیوتکنولوژی موسسه تحقیقات واکسن و سرم سازی رازی کرج و  
دانشگاه آزاد اسلامی واحد جهرم اعلام می‌دارند.

## References

1. Knipe D, Howley P. *Filds Virology* (fifth edition). Lippincott Williams and Wilkins, 2006, ISBN 0-7817-1832-5.
2. El Mubarak HS, De Swarta RL, Osterhaus ADME, Schuttena M. Development of a semi-quantitative Real-Time RT PCR for the detection of measles virus. *J Clin virol.* 2005; 32:313-317.
3. Wakefield AH. Detection of measles virus genomic RNA in cerebrospinal fluid of children with regressive autism: a report of three cases. *J Am Phys Surg.* 2004; 9(2):38-45.
4. Wong ML, Medrano JF. Real-time PCR for mRNA quantitation. *Biotechniques.* 2005; 39:75-85.
5. Ozoemena LC, Minor PD, Afzal MA. Comparative evaluation of measles virus specific TaqMan PCR and conventional PCR using synthetic and natural RNA templates. *J Med virol.* 2004; 73:79-84.
6. Kimberly B, Hummel, Lowe L, Bellini WI, Rota PA. Development of quantitative gene-specific Real-Time RT PCR assays for the detection of measles virus in clinical specimens. *J Virol Meth.* 2006; 132: 166-173.
7. Schalk JAC, van den Elzen C, Ovelgonne H, Baas C, Peter MJ, Jongen M. Estimation of the number of infectious measles viruses in live virus vaccines using quantitative Real-Time PCR. *J virol meth.* 2004; 117:179-187.
8. Thomas B, Beard S, Jin L, Brown KE, Brown DWG. Development and evaluation of a Real-Time PCR assay for rapid identification and semi-quantitation of measles virus. *J Med virol.* 2007; 79:1587-1592.
9. Tevfik Dorak M. *Real-Time PCR (Advanced methods)*. 2007; ISBN-13: 978-0-4153-77348.
10. Akiyama M, Kimura H, Tsukagoshi H, Taira K, Mizuta K, Saitoh M, Nagano M, Sutoh A, Noda M, Morita Y, Sakatsume O, Okabe N, Tashiro M. Development of an assay for the detection and quantification of the measles virus nucleoprotein (N) gene using Real-Time reverse transcriptase PCR. *J Med Microbiol.* 2009; 58:683-643.
11. Thompson RCA. *Molecular Epidemiology of Infectious Disease*. 2006; ISBN 0 340 759097.
12. Schneider-Schaulies J, ter Meulen V, Schneider-Schaulies S. Measles virus interaction with cellular receptor: consequences for viral pathogenesis. *J Neurovirol.* 2001; 7: 391-399.
13. Schneider H, Kaelin K, Billeter MA. Recombinant measles virus defective for RNA editing and V protein synthesis are viable in cultured cells. *Virology.* 1997; 227:314-322.
14. Drago L, Lombardi A, De Vecchi E, Giuliani G, Bartolone R, Gismondo MR. Comparison of nested PCR real time PCR of Herpesvirus infections of central nervous system in HIV patients. *BMC Infect Dis.* 2004; 4-55.
15. Llop P, Bonaterra A, Penalver J, Lopez MM. Development of a highly sensitive nested-PCR procedure using a single closed tube for detection of *Erwinia amylovora* in asymptomatic plant material. *Appl Environ Microbiol.* 2000; 66:2071-2078.
16. Morita Y, Suzuki T, Shiono M, Shiobara M, Saitoh M, Tsukagoshi H, Yoshizumi M, Ishioka T, Kato M, Kozawa K, Ttanaka-Taya K, Yasui Y, Noda M, Okabe N, Kimura H. Sequnce and phylogenetic analysis of the nucleoprotein (N) gene in measles viruses prevalent in Gunma Japan . *Jpn Infect Dis.* 2007; 60:402-404.
17. Plummet S, Gerlier D. Optimized Sybr Green Real-Time PCR assay to quantify the absolute copy number of measles virus RNAs using gene specific primers. *J virol methods.* 2005; 128:79-87.
18. Min BS, Noh YJ, Shin JH, Baek SY, Min KI, Ryu SR, Kim BG, Park MK, Choi SE, Yang EH, Park SN, Hur SJ, Ahn BY. Assessment of the quantitative Real-Time polymerase chain reaction using a cDNA standard for human group A rotavirus. *J virol methods.* 2006; 137: 280-286.
19. Bukland R, Gerald C. Fusion glycoprotein of measles virus: Nucleotide sequence of the gene and comparison with other Paramyxoviruses. *J gen Virol.* 1987; 68:1695-1703.
20. Bradstreet JJ, El Dahr J, Anthony A, Kartzinel JJ, Wakefield AH. Detection of measles virus genomic RNA in cerebrospinal fluid of children with regressive autism: a report of three cases. *J Am Phys Surg.* 2004; 9(2):38-45.
21. Uhlman V, Martin CM, Sheils O, Pilkington L, Silva I, Killalea A, Murch SB, Walker-Smith J, Thomson M,

- Wakefield AJ, O'Leary JJ. Potential viral pathogenic mechanism for new variant inflammatory bowel disease. Mol Pathol. 2002; 55:84-90.
22. Stamley FR, Patel MM, Holloway BP, Pellet PE. Quantitative fluorogenic probe PCR assay for detection of human Herpesvirus 8 DNA in clinical specimens. J Clin Microbiol. 2006; 39:3537-3540.
23. Kreuzer KA, Lass U, Nagel S, Ellerbrok H, Pauli G, Pawlaczek-Peter B, Siegert W, Huhn D, Schmidt CA. Applicability of an absolute quantitative procedure to monitor intra-individual bcr/abl transcript kinetics in clinical samples from chronic myelogenous leukemia patients. Int J Cancer. 2000; 86:741-746.
24. King DP, Reid SM, Hutchings GH, Grierson SS, Wilkinson PJ, Dixon LK, Bastos AD, Drew TW. Development of a Taq Man PCR assay with internal amplification control for the detection of African swine fever virus. J Virol Methods. 2003; 107:53-61.

## Optimization of Real-time PCR method to quantify the measles viral particles by using F gene

Tahereh Zarei<sup>1</sup>, Khosrow Aghaiypour<sup>1</sup>, Farshid Kafilzadeh<sup>2</sup>,  
Abdolhamid Shoshtari<sup>2</sup>

<sup>1</sup>M.Sc. Department of Microbiology, Jahrom Branch, Islamic Azad University, Jahrom, Iran.

<sup>1</sup>Assistant Professor, Department of Biotechnology, Razi Vaccine & Serum Research Institute, Karaj, Iran.

<sup>2</sup>Associate Professor, Department of Microbiology, Jahrom Branch, Islamic Azad University, Jahrom, Iran.

<sup>2</sup>Assistant Professor, Department of Research and Detection of Poultry Diseases, Razi Vaccine & Serum Research Institute, Karaj, Iran.

### Abstract

**Background and objective:** Although measles disease has controlled measles disease worldwide, there are some reports of the viral infection in vaccinated populations. Therefore, accurate and timely diagnosis is essential for the virus. Most of new molecular methods for virus detection cannot quantify the virus load. The purpose of this study was to set up Real-time PCR method using measles virus F gene.

**Materials and methods:** Firstly, two primers and a probe from the F gene cloned into plasmid pET-22b (+)(Novagen) were designed. A ten fold serial dilution of standard plasmid containing the gene was prepared and a standard curve was plotted. The project was carried out on the 7500 Real-Time PCR detection System (Applied Biosystems) with Taq man kit (Applied Biosystems).

**Result:** At least 30 viral particles per reaction could be determined and the dilutions between 10<sup>-4</sup> to 10<sup>-9</sup> equivalent 3×10<sup>1</sup> to 3×10<sup>6</sup> copies of the standard curve) were linear at best.

**Conclusion:** Real-time PCR results showed that the technique can be used as highly specific and rapid method to detect and to determine the number of measles viral particles from the samples containing the virus.

**Keywords:** Measles virus, F gene, Real-time PCR.

---

**Correspondence to:** Tahereh Zarei

Tel: +989389909700

E-mail: tahereh.zarei71@yahoo.com

Journal of Microbial World 2010, 2(4) - 227-234